

سامانه شکستگی‌ها در کمربند چین‌خورد داغ در ناحیه شمال خاوری بجنورد

فرزین قائمی^۱ و فرخ قائمی^۲

^۱ گروه زمین‌شناسی، دانشکده علوم، دانشگاه فردوسی مشهد، مشهد، ایران

^۲ گروه زمین‌شناسی، دانشکده علوم، دانشگاه آزاد اسلامی مشهد، مشهد، ایران

تاریخ پذیرش: ۱۳۸۹/۰۷/۱۱ تاریخ دریافت: ۱۳۸۸/۰۹/۲۵

چکیده

ناحیه خراسان شمالی یکی از مناطق فعال زمین‌ساختی ایران به شمار می‌آید. بیشتر گسل‌های مهم در این ناحیه، از نوع راستالغز با مؤلفه‌های چپبر و راستبر است و گسل‌های راندگی در درجه دوم اهمیت قرار دارند. بخشی از گسل‌های راندگی، قدیمی‌تر از گسل‌های راستالغز و بخشی دیگر جوان‌تر از آنها هستند و گسل فعال به شمار می‌آیند. این گسل‌ها، نتیجه ایجاد انحتا در گسل‌های راستالغز و تبدیل آنها به گسل‌های معکوس هستند. گسل‌های کواترنری، با توجه به نشانه‌های فعالیت، در ناحیه شناسایی شده‌اند. چهار دسته درزه در ناحیه بررسی شده که دو دسته آنها کششی و دو دسته دیگر برشی هستند. مخصوصات تنش‌های اصلی ایجاد کننده آنها عبارت است از: $\delta_1 = N9^{\circ}E, 5^{\circ}$ – $\delta_2 = S1^{\circ}W, 86^{\circ}$ – $\delta_3 = N81^{\circ}W, 1^{\circ}$ – $\delta_4 = S1^{\circ}W, 86^{\circ}$. مجموعه گسل‌های راستالغز جوان به صورت گسل‌های همراه بر روی یکدیگر تأثیرگذار هستند. نمونه آن در زمین‌لرزه سال ۱۳۷۵ بر روی گسل یکه شاخ دیده می‌شود که حرکات کوچکی را در گسل‌های بابا امان و قارلق ایجاد کرده است.

کلیدواژه‌ها: گسل راستالغز، گسل راندگی، بجنورد، گسل‌های همراه، گسل فعال، درزه، پهنه گسل

*نویسنده مسئول: فرزین قائمی

E-mail:farzinmail@yahoo.com

۱-۳. گسل‌های راستالغز

مهم‌ترین گسل‌ها در محدوده مورد بررسی، گسل‌های راستالغز هستند که ویژگی‌های ساختاری و توان فعالیت آنها مطالعه شده است. ویژگی‌های زمین‌ساختی این گسل‌ها که محصول این پژوهش است به صورت خلاصه در جدول ۱ معرفی شده است.

برخی از گسل‌ها به صورت کامل در زیر معرفی می‌شوند:

گسل بابا امان: طول گسل در حدود $31/5$ کیلومتر و امتداد آن NE-SW است. بر اساس بررسی خشن لغزه‌ها، لغزش از نوع چپبر با مقدار کمی لغزش شبی است. میزان جدایش افقی آن در حدود 400 متر و پهنه گسلی بین 10 تا 50 متر در تغییر است. حرکت در امتداد گسل سبب ایجاد جایی پلکانی در رسوبات کواترنری شده است (شکل ۶) (غفوری و همکاران، ۱۳۷۸). زمین‌لرزه سال ۱۳۷۵ بجنورد بر روی گسل یکه شاخ، سبب جایه‌جایی اندکی در طول این گسل نیز شده که آثار شکستگی جدید، لغزش زمین و برش جاده آسفالت (شکل ۷) در جنوب توپل بابا امان، از شواهد این حرکت است. انتهای جنوبی گسل در رسوبات عهد حاضر جنوب شهر بجنورد قرار داشته و انتهای شمالی آن به گسل توپکانلو متصل شده و در رسوبات کواترنری خاتمه می‌یابد. گسل بابا امان محور تاقدیس سرچشم و ناویدیس شیخ و گسل راندگی سرچشم را برپیده است. در فضای میان گسل‌های توپکانلو و بابا امان تعداد زیادی گسل‌های فرعی راستالغز چپبر دیده می‌شوند که حاصل حرکت این دو گسل در کنار هم هستند.

گسل ناوه: این گسل راستالغز راستبر بوده و طولی حدود $32/5$ کیلومتر دارد. در مجاورت روستای ناوه، انتحابی در امتداد گسل ایجاد شده است که آن را به دو بخش تقسیم کرده است. موقعیت بخش جنوبی گسل $N52W, 81W$ و امتداد بخش شمالی آن $N10W$ است. گسل‌ش محور ناویدیس لوجلی و تاقدیس‌های کوکلی و زاب را برپیده است. میزان جدایش افقی آن حدود 500 متر است. در پهنه گسلی با سمترای 10 تا 15 متر، واحدهای سنگی به شدت خردش‌گی نشان می‌دهند (شکل ۵).

گسل ناوه در بخش شمالی به شکل افشار به شاخه‌های فرعی از گسل‌های راستالغز راست برختم می‌شود. این گسل در رسوبات سازند آیتمیر در جنوب روستای امیرآباد خاتمه می‌یابد. بخش جنوبی آن در یال شمالی ناویدیس شیخ و در مجاورت روستای چهار برج، در رسوبات سازند سنگانه به انتهای می‌رسد. بخش میانی آن، توسط گسل یکه شاخ برپیده و جایه‌جا می‌شود. در زمین‌لرزه سال ۱۳۷۵ بجنورد این گسل

در این پژوهش مشخصات سینماتیک همه گسل‌های موجود در ناحیه به تفصیل مطالعه شده و به ویژه به آثار فعالیت‌های جوان و بریدگی رسوبات کواترنری توجه خاصی شده است. با بررسی درزه‌ها و مختصات لایه‌های چین‌خورد، رابطه بین درزه‌ها و گسل‌ها با چین‌خوردگی‌ها بررسی شد (شکل ۱).

هدف از این مطالعه عبارت است از: شناسایی گسل‌های کواترنری که دارای توان فعالیت هستند، تعیین مختصات درزه‌ها و گسل‌های موجود به منظور تعیین سامانه تنش پیشنهادی ایجاد کننده ساختارهای زمین‌ساختی در منطقه، رده بندی انواع گسل‌های موجود و تعیین روابط سنتی بین آنها.

۲- مطالعات پیشین

نخستین بررسی‌های زمین‌ساختی در حوضه کپه‌داغ توسط Greisbach (1881) از سازمان زمین‌ساختی هند، در خاور کپه‌داغ انجام شد. پس از آن، بیشتر مطالعات زمین‌ساختی در حوضه کپه‌داغ توسط شرکت ملی نفت ایران انجام گرفت. در همین راستا Afshar-Harb (1979) مقطع تیپ از سازندگان کپه‌داغ را معرفی و اندازه‌گیری کرد. در سال ۱۳۶۴ نقشه زمین‌ساختی ناحیه بجنورد با مقیاس $1:250000$ توسط دکتر افسار حرب، توسط سازمان زمین‌ساختی کشور به تهیه شد. در سال ۱۳۷۳ کتاب زمین‌ساختی کپه‌داغ نوشته دکتر افسار حرب، توسط سازمان زمین‌ساختی کشور به چاپ رسید که اطلاعات کامل و جامعی در مورد چینه‌ساختی حوضه کپه‌داغ در اختیار قرار می‌دهد. Hollingsworth et al. (2008, 2007, 2006) بر روی زمین‌لرزه سال ۱۳۷۵ بجنورد و فعالیت‌های زمین‌ساختی در این مناطق مطالعاتی را انجام داده‌اند. در این پژوهش و در کاری متفاوت، به ویژگی‌های ساختاری و فعالیت هر یک از گسل‌ها به صورت جداگانه پرداخته می‌شود.

۳- گسل‌ش (گسل خوردگی)

یکی از ساختارهای مهم در منطقه، گسل‌ها هستند. بیشتر گسل‌های شناخته شده، از نوع راستالغز بامؤلفه‌های چپبر و راست برپوده و تعدادی نیز گسل‌های راندگی و معکوس هستند. در این پژوهش گسل‌های رابر اساس هندسه و سینماتیک آنها تقسیم‌بندی کرده و سازوکار، مشخصات هندسی و تاریخچه حرکتی آنها در حدامکان، مورد بررسی قرار خواهیم داد.

کوکلی ایجاد شده و سازند تیرگان را بر روی سازند سرچشمه می‌راند (شکل ۱۴). این راندگی در تمامی یال جنوبی تاقدیس کوکلی دیده نمی‌شود و در برخی نقاط ارتباط این دو واحد سنگی، عادی است. برگشتگی لایه‌ها در امتداد سطح راندگی، شاهدی بر جهت راندگی از شمال به سوی جنوب است.

• راندگی سرچشمه: این راندگی با مختصات N_{W,NW-E,NE,40N} در یال جنوبی تاقدیس سرچشمه ایجاد شده است. گسل در خاور، درون آهک تیرگان شروع شده و در باخته، در بین سازندهای تیرگان و سرچشمه قرار می‌گیرد. گسل سرچشمه در انتهای بین واحدهای تیرگان و نئوژن جای می‌گیرد. جهت راندگی به سمت جنوب باخته است و سبب برگشتی لایه‌ها و چین‌خوردگی در آنها شده است. راستای این راندگی توسط تعدادی گسل راستالغز جوان تر برپیده می‌شود.

• راندگی سیساب: مختصات آن N_{90E-35N} است. فرا دیواره این گسل را بیشتر رسوبات پلیوکواترنری و نئوژن و فرو دیواره آن را سازند سرچشمه تشکیل داده است. گسل سیساب در پاره‌ای نقاط از مرز سازند تیرگان و سرچشمه عبور می‌کند. این راندگی در سمت خاور به گسل توپکانلو و در سمت باخته به گسل قاضی، محدود می‌شود. برگشتگی لایه‌ها نشان دهنده جهت راندگی به سوی جنوب است.

• راندگی قوه‌سو: مختصات گسل N_{75E,40NW} است و راندگی به سوی جنوب خاوری است. حرکت این راندگی کناره باخته ناویدیس شیخ را برپیده است.

• راندگی قوه: مختصات آن N_{E-SW,30NW} و سوی راندگی به سمت جنوب خاور است. به سبب حرکت گسل، در رستای قولانلو (هسته تاقدیس زاب)، چین‌خوردگی مکرر ایجاد شده است (شکل ۱۵).

• راندگی شمال توپکانلو: امتداد آن E-W و طول آن حدود ۸ کیلومتر است. این راندگی که در باختی از یال شمالی ناویدیس شیخ قرار دارد، از سمت باخته به گسل راستالغز بآمان و از سمت خاور به گسل راستالغز کوچکی، ختم می‌شود. بر اساس شواهد، سوی راندگی از شمال به سمت جنوب بوده که سازند کلات را بر روی سازند آبدراز و دیواره سازند آبدراز را بر روی سازند پسته‌لیق رانده است (عکس ۱۶).

گسل‌های معکوس

رده دوم شامل گسل‌های معکوس است که همزمان با تشکیل گسل‌های راستالغز ایجاد شده‌اند. این شکستگی‌ها شاخه‌های فرعی گسل‌های راستالغز هستند که به دلیل تغییر در امتداد گسل‌های راستالغز، مؤلفه حرکت در طول آنها، از امتدادلغز به شیبلغز از نوع معکوس تغییر یافته است. مهم‌ترین آنها عبارتند از:

• گسل شمال بیکان: این گسل با طول ۸ کیلومتر و مختصات N_{48E,58SW} جدایش شیبی معادل ۲۵ متر را در سطح خود ایجاد کرده است (شکل ۱۷). گسل‌ش آن در واحدهای سنگی سازندهای تیرگان و سرچشمه و رسوبات کواترنری دیده می‌شود.

• گسل زیارت: طول گسل ۹ کیلومتر و مختصات آن N_{90E,60N} است که جدایش شیبی در حدود ۲۹ متر را ایجاد کرده است. انتهای خاوری گسل توسط رسوبات کواترنری پوشیده می‌شود و باخته آن نیز به گسل‌های راستالغز متصل می‌شود.

۴- دینامیک گسل‌ها

محدوده مورد مطالعه در حوضه رسوبی کپه‌داغ، تحت تنش فشارشی در جهت N_{NE-S,SW} قرار گرفته است. حاصل این تنش در ابتدا کوتاه‌شدگی و چین‌خوردگی است و سپس در برخی نقاط، گسل‌های راندگی، مانند گسل توکور، را ایجاد کرده است. همان گونه که در نقشه زمین‌شناسی نیز دیده می‌شود، امتداد گسل‌های راندگی به موازات سطوح محوری چین‌هاست و این گسل‌ها همواره در یال برگشته چین‌ها قرار دارند. بنابراین چین‌های برگشته‌ای که در ارتباط با گسل‌های راندگی ایجاد شده‌اند را می‌توان چین انتشار گسل (Fault propagation fold) دانست. به منظور تعیین موقعیت تنش‌های ایجاد کننده

نیز به صورت گسل همراه، فعال شد و رستای ناوه را ویران کرد. بر اساس شواهد زمین‌شناسی، گسل ناوه را می‌توان گسلی جوان و فعال در نظر گرفت.

- گسل یکشاخ: این گسل امتدادی به تقریب E-W و طولی حدود ۳۰ کیلومتر است. زمین‌لرزه به نسبت بزرگ‌گ بجنورد با بزرگی MS=۵/۹ در ۱۶ بهمن ماه سال ۱۳۷۵ بر روی همین گسل اتفاق افتاد. طول گسل‌ش سطحی آن حدود ۲۰ کیلومتر است (قیاطانچی و همکاران، ۱۳۷۷; Tatar et al., 1997). بر اثر این زمین‌لرزه در سال ۱۳۷۵، رستاهای قزلقان، ناوه، شیخ، سرخزو و تعدادی رستای قزلقان به طور کامل تخریب شدند و رستاهای زیادی نیز آسیب دیدند. بخش باخته این ناحیه در سال ۱۳۰۲ (۱۷ سپتامبر ۱۹۲۳) زمین‌لرزه شدید دیگر را تجربه کرده بود و پنهان کلان لرزه‌ای این دو واقعه تا حدی بر همدیگر همپوشانی دارند (Ambraseys & Melville, 1982).

است. شواهد شکستگی قدریمی‌تر در رسوبات کواترنری در محل رستای قزلقان دیده می‌شود. زمین‌لرزه سال ۱۳۷۵ باعث افتادگی در سمت شمالی گسل، در فاصله رستاهای قزلقان تا یکشاخ شده است (شکل ۸). امتداد گسل یکشاخ به موازات محور ناویدیس لوجلی است و در رستای خود، گسل‌های ناوه و قزلقان و تعدادی گسل فرعی را برپیده است. این گسل در خاور از سازند آیتمیر در مجاورت رستای یکشاخ شروع و در سازند تیرگان واقع در مجاورت رستای گلیان خاتمه می‌یابد.

تعدادی گسل‌های مجاور و نزدیک به گسل یکشاخ همزمان با زمین‌لرزه سال ۱۳۷۵ به صورت همرا (Sympathetic faults) فعال شده‌اند به گونه‌ای که آثار حرکت را می‌توان در آنها دید. در ادامه به مهم‌ترین آنها اشاره می‌شود:

- گسل لوجلی: زمین‌لرزه سال ۱۳۷۵ بجنورد، سبب ایجاد لغزش و برش در رسوبات عهد حاضر بر روی این گسل شده است (شکل ۳). گسل لوجلی را می‌توان به عنوان گسلی فعل و خطراز در نظر گرفت.

- گسل قزلقان (گسل شیخ): در پنهان گسلی (شکل ۱۰)، سنگ‌های آهکی تیرگان، به شدت خرد شده و به وسیله کلسیت به هم متصل شده‌اند. انتهای جنوبی این گسل توسط گسل قره‌سر و بخش شمالی آن توسط گسل یکشاخ برپیده می‌شود. همزمان با زمین‌لرزه سال ۱۳۷۵ بجنورد، بر روی این گسل نیز جایه‌جایی اندکی رخ داد که سبب ریزش‌های سنگی بر روی خط گسل شد. با توجه به شواهد ارائه شده، این گسل بسیار فعل و خطراز به نظر می‌آید.

- گسل قارلق: بر روی گسل در طی زمین‌لرزه سال ۱۳۷۵ بجنورد، آثار حرکت به ویژه در اطراف رستای شیخ دیده می‌شود که سبب ایجاد زمین‌لغزش‌های بزرگی شده است (شکل‌های ۱۱ و ۱۲). این گسل، فعل و از رده گسل‌های کواترنری است. وجود شکستگی‌های فراوان در دامنه تپه‌های جنوبی رستای شیخ نشان دهنده آماده‌شدن این محل برای یک زمین‌لغزش در آینده‌ای نزدیک است.

- گسل ناوه: در زمین‌لرزه سال ۱۳۷۵ بجنورد این گسل نیز به صورت گسل همرا، فعل شد و رستای ناوه را ویران کرد. بر اساس شواهد زمین‌شناسی، گسل ناوه را می‌توان گسلی جوان و فعل در نظر گرفت.

- گسل جنگاه: بر اثر زمین‌لرزه سال ۱۳۷۵ بجنورد، در مسیر گسل جنگاه، زمین‌لغزش در رسوبات کواترنری ایجاد شده که نشان دهنده فعالیت جدید آن است (شکل ۱۳).

۳- گسل‌های شب‌لغز

این گسل‌ها در دو رده اصلی قرار می‌گیرند:

- گسل‌های راندگی قدیمی: رده اول گسل‌های راندگی قدیمی هستند که همزمان با چین‌خوردگی در منطقه ایجاد شده‌اند و از گسل‌های راستالغز، قدیمی‌تر هستند. امتداد این راندگی‌ها توسط گسل‌های راستالغز برپیده و جایه‌جا می‌شود. به طور معمول، هر گسل راندگی از دو سمت به گسل‌های راستالغز ختم می‌شود. گسل‌های راندگی قدیمی بزرگ در منطقه عبارتند از:

• راندگی کوکلی: مختصات آن N_{90E,30N} است. این گسل در یال جنوبی تاقدیس

چین‌های محدوده مورد مطالعه (شکل ۲۲)، درزهای a کششی و عمود بر محور چین خوردگی هستند و به عنوان درزهای عرضی (Transverse joints) در نظر گرفته می‌شوند. امتداد این درزهای تقریباً به موازات تنفس بیشینه اعمال شده بر ناحیه است و از نظر آماری بیشترین تراکم و گسترش را در سطح منطقه دارند. درزهای b نیز کششی هستند و چون به موازات محور چین خوردگی قرار گرفته‌اند، به عنوان درزهای طولی (Longitudinal joints) معروفی می‌شوند. این درزهای کمترین گسترش را در منطقه دارند. زاویه بین این دو دسته شکستگی کششی که تحت تأثیر مؤلفه نرمال تنفس ایجاد می‌شوند، همان گونه که در استریوگرام شکل ۲۳ نیز نشان داده شده، نزدیک به عمود است.

درزهای b و c پوشی مزدوج بوده و با یکدیگر زاویه‌ای حدود 80° می‌سازند.

با استفاده از درزهای پوشی مختصات تنفس‌های اصلی ایجاد کننده تغییرات ساختاری در ناحیه مشخص شد (شکل ۲۳) که عبارت است از:

$$\delta_1 = N90^{\circ} E, 5^{\circ} \quad \delta_2 = S1^{\circ} W, 86^{\circ} \quad \delta_3 = N81^{\circ} W, 1^{\circ}$$

۶- تأثیر گسل‌های همراه در تخریب زمین‌لرزله

مجموعه گسل‌های راستالغز جوان در این منطقه می‌توانند بر روی یکدیگر تأثیرگذار باشند و به صورت گسل‌های همراه عمل کنند. در گسل‌های همراه، تغییر تنفس پوشی از تنفس پایه که به دلیل رخداد زمین‌لرزله و فعل شدن یک گسل ایجاد می‌شود، سبب ایجاد حرکات کوچکی خواهد شد. این مورد به خوبی در زمین‌لرزله ۱۳۷۵ بجنورد ایجاد شده است. همزمان با این لرزش در بسیاری از گسل‌های جوان موجود در منطقه شکستگی و حرکت‌های کوچکی دیده می‌شود که در زیر به نمونه‌هایی اشاره می‌شود.

۱- ریزش‌های سنگی در طول گسل قزلقان (شیخ) همزمان با زمین‌لرزله (شکل ۱۰).

۲- آثار حرکت و جابه‌جایی روی گسل قزلقان در طی زمین‌لرزله بهویژه در اطراف روستای شیخ که حتی سبب ایجاد زمین‌لغزش‌های بزرگی شده است (شکل ۱۲).

۳- رخداد جابه‌جایی‌های کوچک در امتداد گسل بابا امان که در فاصله حدود ۱۵ کیلومتری جنوب خاوری مرکز زمین‌لرزله سال ۱۳۷۵ بجنورد قرار دارد. آثار پرش و شکستگی جوان در دره مجاور مجتمع پتروشیمی بجنورد دیده می‌شود. حتی در دو محل که این گسل از جاده بجنورد به شهرستان عبور می‌کند، آسفالت بریده شده است (شکل ۷). در کنار مجتمع پتروشیمی، بند خاکی احداث شده که در اثر فعل بودن این گسل ترک‌های ژرفی در مخزن و محور بند خاکی ایجاد شده است. این مسئله منجر به غیر قابل استفاده شدن کامل بند خاکی شده است. همچنین تعدادی از واحدهای مسکونی روستای قره‌خان بنده که بر روی خط گسل واقع شده، در زمان رخداد زمین‌لرزله به طور کامل تخریب شده‌اند، اما ساختارهایی که در فاصله دورتری از این گسل و حتی در فاصله نزدیک‌تر به کانون زمین‌لرزله قرار دارند، آسیب چنانی را متحمل نشده‌اند. تمامی این شواهد نشان‌دهنده فعل شدن این گسل در طی زمین‌لرزله سال ۱۳۷۵ شهر بجنورد است.

این شواهد نشان‌دهنده این مطلب است که رخداد زمین‌لرزله در یک گسل در گسل‌های اطراف آن، تأثیر گذاشته و سبب ایجاد جابه‌جایی‌های کوچک در آنها می‌شود. بنابراین می‌توان زون گسلی تمام گسل‌های جوان موجود در منطقه را به عنوان یک شبکه فعل در نظر گرفت. این بدان معنی است که در هر زمین‌لرزله‌ای که در این منطقه رخ دهد، خطوط این شبکه می‌تواند به عنوان مناطق با توان تخریب بالا معرفی شود.

۷- نتیجه‌گیری

- در این پژوهش به ویژگی‌های ساختاری و فعالیت هر یک از گسل‌ها به صورت جداگانه پرداخته شده است. همچنین در این مطالعه به نشانه‌های همراهی گسل‌ها در زمین‌لرزله پرداخته شده است که اینها مواردی متفاوت از مطالعات پیشین است.

راندگی‌ها، ابتدا قطب سطوح راندگی منطقه بر روی استریوونت منتقل و موقعیت سطح راندگی میانگین معین شد (شکل ۱۸). با در نظر گرفتن این اصل که جهت اعمال تنفس بیشینه بر روی یک گسل راندگی، تقریباً عمود بر امتداد سطح گسل است، موقعیت تنفس به صورت N03W تعیین شد.

با ادامه اعمال فشار در منطقه، شکستگی‌های مزدوج (Conjugate fractures) در سنگ‌ها شکل می‌گیرند. این شکستگی‌ها را می‌توان منشأ ایجاد گسل‌های راستالغز در نظر گرفت. نحوه حرکت و چگونگی کنار هم قرار گرفتن گسل‌های راستالغز، شکل‌های زمین‌ساختی متفاوتی را در منطقه ایجاد کرده است. در برخی نقاط حرکت راستالغز، گسل‌های جابه‌جایی‌های کوچک بر روی گسل‌های فرعی به شکل بادبزنی (Imbricate) یا افشار (دم اسبی) شده است (شکل ۱۹). برای مثال در گسل‌های توپکانلو و بابامان چینی گسل‌هایی ایجاد شده‌اند. همان گونه که در شکل نیز دیده می‌شود، مجموع جابه‌جایی‌های کوچک بر روی گسل‌های فرعی با میزان جابه‌جایی اصلی که بین دو بلوک ایجاد شده، برابر است. در برخی نقاط حرکت بلوک‌های اطراف یک گسل راستالغز سبب تشکیل شکستگی‌هایی با زاویه حاده در کنار آنها شده است (شکل ۲۰). این گسل‌ها بسته به چیزی بر یا راستبر بودن گسل اصلی، گسل‌های شبی‌لغز فرعی با مؤلفه معکوس و یا نرمال را ایجاد می‌کنند. بنابراین گسل‌های معکوس جوان موجود در ناحیه را می‌توان حاصل حرکت گسل‌های راستالغز دانست. در پاره‌ای نقاط نیز گسل‌های راستالغز حالت خمیده به خود گرفته‌اند که سبب تغییر در امتداد این گسل‌ها می‌شود (گسل توکر و ناوه). با در نظر گرفتن طول و امتداد هر یک از گسل‌های راستالغز اصلی و فرعی و همچنین جهت حرکت در آنها، نمودار گل سرخی برای آنها رسم شده است. بر اساس این نمودار گسل‌های راستالغز منطقه، دارای دو روند N35E و حرکت راستبر روند N45E و حرکت چپ‌بر و سری دوم دارای روند N05E و حرکت NE-SE است (شکل ۲۱). در سامانه برشی محض، ابتدا یکی از دو سری گسل مزدوج فعالیت بیشتری از خود به نمایش می‌گذارد (Hoepener, 1969). در منطقه مورد مطالعه فعالیت در امتداد شمال باختری- جنوب خاوری گسترش بیشتری دارد. بر اساس این سامانه، راستای بیشترین فشارش در منطقه N05E و کمترین فشارش S85E تعیین شده است. این جهت‌ها، با راستای به دست آمده از بررسی گسل‌های راندگی و ساختارهای چین خوردگی تقریباً همخوانی دارند و اختلاف اندک آنها، به احتمال در ارتباط با چرخش ساختارهای زمین‌شناسی است.

۸- درزهای

اعمال تنفس، افزون بر ساختارهای چین خوردگی، درزهای فراوانی را نیز ایجاد کرده که مطالعه و بررسی آنها، به عنوان یک ساختار مهم، تاریخچه و قایع زمین‌ساختی را معین می‌سازد. در ناحیه مورد مطالعه، در مجموع مختصات ۵۲۰ درزه برداشت و بر روی استریوونت پیاده شد. بدین وسیله، موقعیت چهار سطح درزه سیستماتیک a, b, c و d مشخص شد (شکل ۲۳). درزهای a فراوان‌ترین درزه‌های موجود در ناحیه هستند. درزهای b و c از نظر فراوانی در رتبه دوم قرار دارند و درزهای d فراوانی کمتری دارند. بر روی سری درزهای a و d ساختار پر مانند (Fringe structure) و ساختار حاشیه‌ای (Plumose structure) ایجاد می‌شود. افزون بر این بیشتر با بازشدگی همراه هستند و فضای داخلی آنها بیشتر با کلیست پر شده است. بنابر این سری‌های a و d درزهای کششی (Tensile joints) هستند. سری‌های b و c که گاه آثار لغزش (Shear joints) در سطح آنها دیده می‌شود، از نوع درزه‌های برشی (Shear joints) به شمار می‌روند.

به خوبی می‌توان ارتباط درزه‌ها را با ساختارهای چین خوردگی و گسلیده معین کرد. بر اساس اندازه‌گیری مختصات لایه‌های چین خوردگی و تعیین محور میانگین

- میزان تخریب سازه‌ها در یک زمین‌لزه تنها به فاصله تا کانون بستگی ندارد، بلکه نزدیکی سازه به هر یک از گسل‌های جوان منطقه می‌تواند سبب افزایش میزان خرابی شود. به همین دلیل گاه در سازه‌هایی که در فاصله دورتری از کانون قرار دارند، تخریب بیشتری صورت می‌گیرد. زیرا مرتبط بودن شبکه شکستگی‌های جوان در تمام منطقه باعث خواهد شد که رخداد شکستگی در یک گسل سبب تحریک و جابه‌جایی‌های کوچک در تعداد زیادی از گسل‌های اطراف آن شود. بنابراین محدوده گسل‌های فعال در منطقه را می‌توان به عنوان شبکه‌ای با توان تخریب بالا در هر زمین‌لزه دانست.

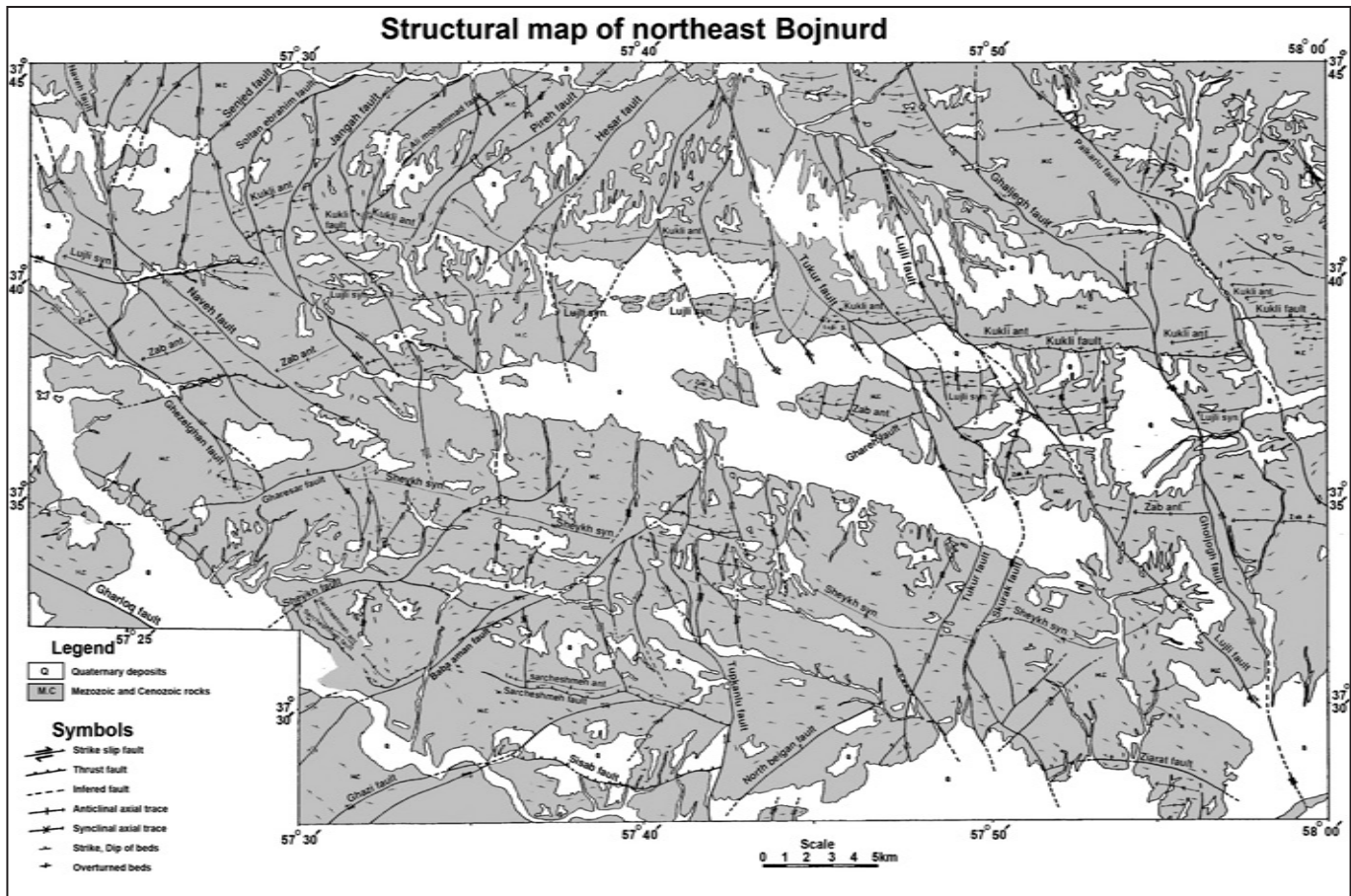
سپاسگزاری

این پژوهه با حمایت مالی دانشگاه فردوسی مشهد در ارتباط با طرح پژوهشی شماره ۱۲۸۶ (پ) مورخ ۸۷/۱۱/۶ انجام شده است.

- گسل‌ها در این ناحیه در سه رده تشکیل شده‌اند. اولین رده گسل‌های راندگی است که همزمان با دیگر بخش‌های البرز و بینالود بوجود آمده‌اند. در ادامه به دلیل چرخشی که در امتداد البرز خاوری ایجاد شده است، دومین رده شامل گسل‌های راستالغر شکیل شده‌اند. این مجموعه در دو دسته مزدوج ایجاد شده‌اند. این دو رده دارای مؤلفه‌های حرکت چپ‌بر و راست‌بر هستند. تغییراتی که در امتداد برخی از این گسل‌ها بهویژه در انتهای آنها ایجاد می‌شود، سبب تبدیل آنها به گسل‌های معکوس جوان می‌شود که سومین رده گسل‌ها را به وجود می‌آورد.

- بخش عمده گسل‌های راستالغر و معکوس جوان، فعال بوده و نشانه‌های فعالیت بر روی آنها دیده می‌شود.

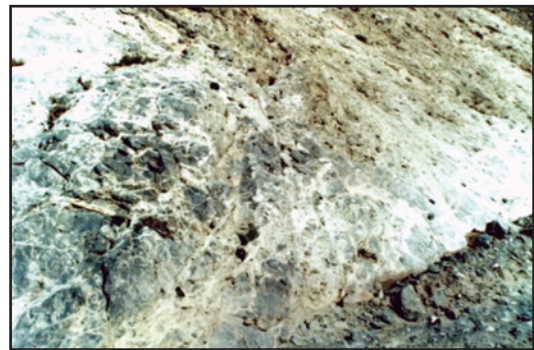
- مجموعه گسل‌های فعال منطقه می‌تواند به صورت گسل‌های همراه بر روی یکدیگر تأثیرگذار باشند و تغییر تشکیل از تنش پایه به دلیل رخداد زمین‌لزه و فعال شدن یک گسل سبب ایجاد حرکات کوچکی در گسل‌های همراه دیگر شود. نمونه آن را در زمین‌لزه ۱۳۷۵ بجنورد می‌توان دید.



شکل ۱- نقشه گسل‌های منطقه مورد مطالعه (قائمی و همکاران، ۱۳۷۸؛ قائمی، ۱۳۸۳).



شکل ۳- بریدگی رویبات عهد حاضر در زمین‌های کشاورزی در مسیر حرکت گسل لوچلی (شمال روستای لوچلی).



شکل ۲- پرشدگی کلیست در زون خردشده گسل راستالغز زیدر (خاور روستای امیرانلو).



شکل ۵- نمایی نزدیک از گسل ناوه در بین سازند سرچشممه (sr) و سازند تیرگان (tr) (روستای ناوه، نگاه به سمت شمال باخته).



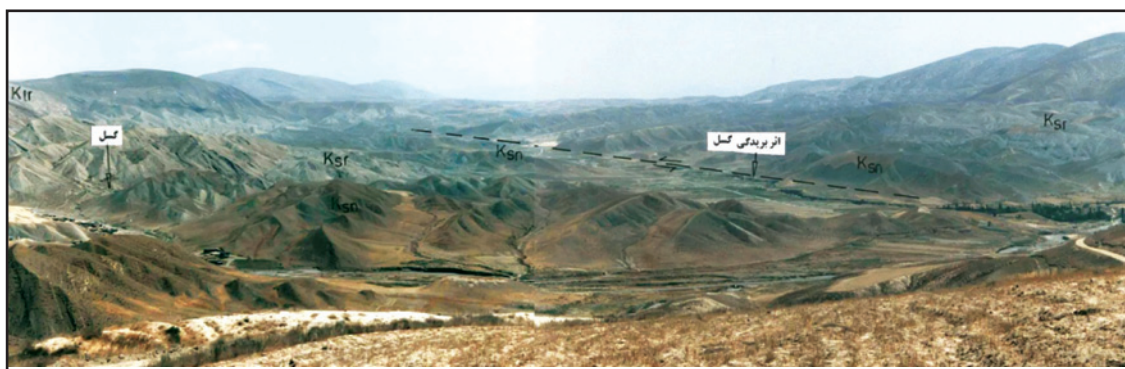
شکل ۴- گسل توپکانلو در جنوب روستای توپکانلو و یال جنوبی ناودیس شیخ در حد بین سازندهای پسته لیق و آبدراز (ab). حرکت‌های جوان گسل سبب ایجاد لغزش در رویبات پسته‌لیق شده است (نگاه به سمت جنوب باخته).



شکل ۷- نمایی از گسل بابا امان که در مسیر خود رویبات کواترنری و جاده آسفالتی را بریده است (نگاه به سمت باخته).



شکل ۶- برشی از پهنه گسلی که حالت پلکانی را در رویبات نوژن ایجاد کرده است (نگاه به سمت خاور).



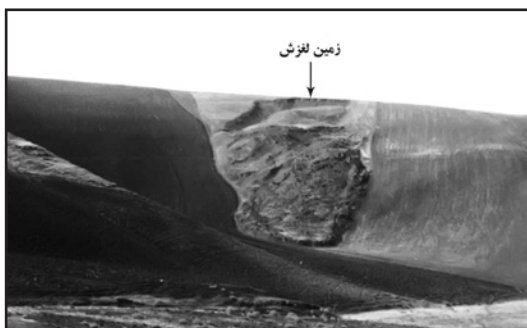
شکل ۸- گسل یکه شاخ در حد فاصل روستای قزلقان (سمت راست)، روستای یکه شاخ (مرکز عکس) و روستای ناوه (سمت چپ) که در مسیر خود گسل‌های دیگری همچون گسل ناوه را قطع می‌کند. (نگاه به سمت خاور).



شکل ۱۰ - پهنه گسلی قرقان که سنگ آهک‌های سازند تیرگان را به شدت خرد کرده است (دره جنوب روستای قرقان، نگاه به سمت باخته).



شکل ۹ - گسلش سطحی در رسوبات کواترنری به وسیله گسل یکه شاخ در اثر زمین‌لرزه سال ۱۳۷۵ بجنورد (مجاور روستای یکه شاخ، نگاه به سمت جنوب باخته).



شکل ۱۲ - زمین‌لغزش بر اثر حرکت جوان گسل فارلق در سازند سنگانه واقع در جنوب روستای شیخ (نگاه به سمت جنوب).



شکل ۱۱ - برش گسل با پرشدگی کلسیت در پهنه گسلی فارلق (شمال روستای شیخ) و خشن‌لغزش‌های ایجاد شده بر روی سطح گسل.



شکل ۱۴ - راندگی کوکلی در دامنه جنوبی تاقدیس کوکلی سازند تیرگان (tr) را بر روی سازند سرچشمہ (S) رانده است (روستای بیک، نگاه به سمت شمال خاور).



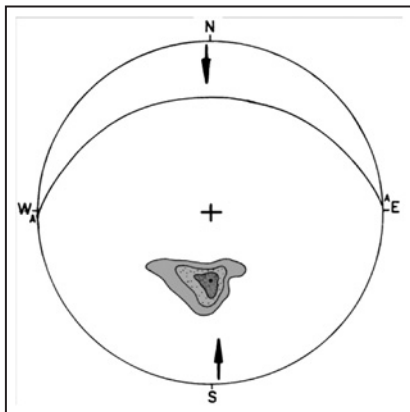
شکل ۱۳ - لغزش رسوبات عهد حاضر واقع بر روی گسل جنگاه بر اثر فعالیت جوان گسل حاصل از زمین‌لرزه ۱۳۷۵ (نگاه به سمت باخته).



شکل ۱۶ - نمایی از راندگی شمال توپکانلو در خاور روستای توپکانلو واقع در یال شمالی ناوادیس شیخ سازند کلات بر روی سازند آبدراز و سپس سازند آبدراز بر روی سازند پسته‌لیق رانده شده است (نگاه به سمت شمال خاور).



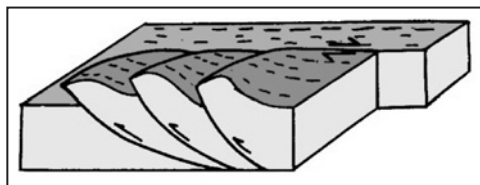
شکل ۱۵ - چین در سازند تیرگان در حاشیه راندگی قره و بخش مرکزی تاقدیس زاب (روستای قولانلو، نگاه به سمت جنوب باخته).



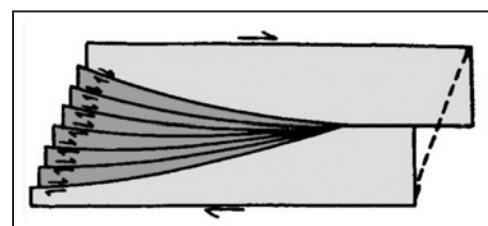
شکل ۱۸- منحنی تجمعی رسم شده، در حقیقت قطب سطح راندگی اصلی است. فلاش موقعیت تنش چیره را در ناحیه نشان می‌دهد.



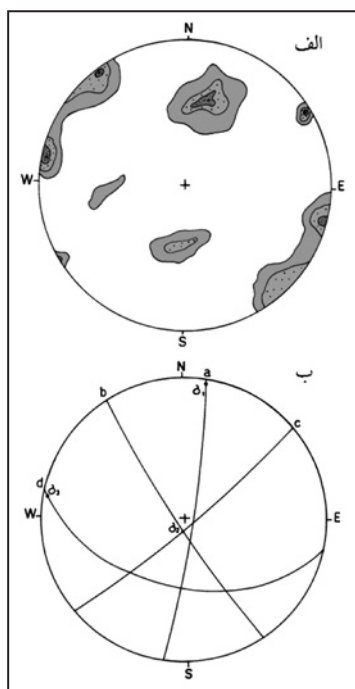
شکل ۱۷- دورنمایی از گسل معکوس بیگان که در واحدهای آهکی تیرگان قرار دارد.
(نگاه به سمت شمال).



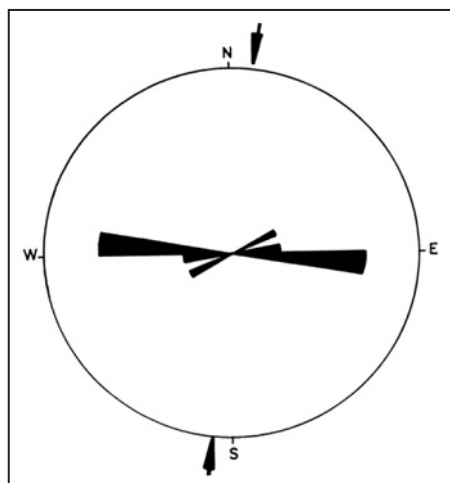
شکل ۲۰- گسل‌های شب‌لغز حاصل حرکت راستبر یک گسل راست‌لغز (Twiss and Moores, 1992).



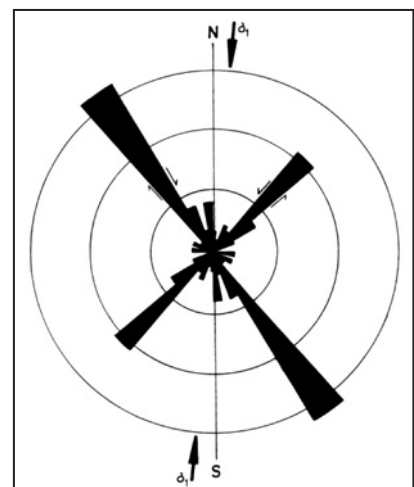
شکل ۱۹- هندسه گسل‌های فرعی افسان که در اثر حرکت راستبر دو بلوک در کنار هم ایجاد شده است. مجموع جابه‌جایی‌هایی که بر روی هر گسل فرعی صورت گرفته برابر با میزان جابه‌جایی است که بین دو بلوک اصلی ایجاد شده است
(Twiss and Moores, 1992).



شکل ۲۳- (الف) منحنی تجمعی درزهای که چهار سطح درزه اصلی در آن دیده می‌شود. (ب) سطوح مربوط به چهار تراکم اصلی موقعیت چهار سطح شکستگی چیره در منطقه را معین می‌کند که بر روی دو سطح مزدوج می‌توان جهت تنشهای اصلی را تعیین کرد.



شکل ۲۲- نمودار گل سرخی سطوح محوری چین‌های منطقه راستای تنش فشارشی چیره که سبب چین خوردگی در منطقه شده به صورت خطی عمود (فلاش) بر امتداد سطح محوری چیره رسم شده است.



شکل ۲۱- نمودار گل سرخی از گسل‌های راست‌لغز منطقه، جهت اعمال تنش چیره با فلاش مشخص شده است.

جدول ۱- مختصات گسل‌های راستافر در محدوده مورد مطالعه

نام گسل	مختصات	طول گسل	سازوگار	جهابش افقی	مشهاد تقویتی	نامه فاصله
گسل زیدر	N35°W.75°NE	۷۷ کیلومتر	چیپر با مؤلفه شیبی نرمال	۱۵۰ متر	۰۳۰ پر شدنگی کلیست و به شدنگی خردشده شکل (۲)	قطع شدن رسوبات کوارٹزی
گسل قایچه	NW-S.E	۴۳ کیلومتر	راستافر چیپر	۱۰۰ متر در بعضی های انهای گسل ۵ مترا	۰۵۰ پر شدنگی کلیست	لغزش و برش در رسوبات عهد حاضر
گسل لوچی	NW-S.E یک پیچش می شود	۷۵ کیلومتر	راستافر راست بر	۱۶۰ متر	۰۳۰ پر شدنگی (شکل ۳)	لغزش و برش در رسوبات عهد حاضر در زمین لزمه سال ۱۳۷۵ به عنود
گسل توکود	امتداد بوخش شمالی و N35°W N25°E	۵/۳ کیلومتر	راستافر راست بر	۱۵۰ متر در بعضی جنوبی ۰۳۰ در بعضی بعضی جنوبی ۰۵ متر	در بعضی شمالی در بعضی شمالی در بعضی جنوبی جنوبی ۱۰ متر	آثار بردگی و حرکت توده‌های حاکم ناآدیس‌های شیخ و لوچی و گسل رانگی کشاورزی از آن جدا شده‌اند.
گسل شورک	امتداد بوخش شمالی و N35°W N25°E	۱۰ کیلومتر	راستافر راست بر	۰۲۰ متر و بعضی جنوبی ۵ متر	در بعضی شمالی یعنی ۲۰ تا ۵ متر	کج شدگی در رسوبات پیوکوارنی و انحراف در مسیر آبراهه‌ها
گسل توکانلو	امتداد بوخش شمالی و N,NW-S,SE جنوبی N34E	۱۸ کیلومتر	راستافر راست بر و مؤلفه شیبی نرمال	۰۶۰ متر	۰۵ پر شدنگی کلیومتر و بخش جنوبی ۱۸ کیلومتر	لغزش توده‌های حاکم و سنگی و بوریدگی در رسوبات عهد حاضر (شکل ۳)
گسل سیسیاب	امتداد بوخش شمالی و N,NW-S,SE جنوبی N34E	۱۹ کیلومتر	راستافر چیپر با مؤلفه شیبی نرمال	۵ متر	۰۵ تا ۱۵ متر	موراب‌لغزه با مؤلفه پوشش شیبی نرمال
گسل قاضی	امتداد N56°E	—	—	—	—	—
گسل بای‌امان	NE-S.W	۳۱/۵ کیلومتر	راستافر چیپر با مقدار کمی اغتشش شیبی	۱۰ تا ۵۰ متر	—	—

نوعیضیحات	نشانه فعالیت	پیشنهاد تقویتی گسلی	مقدار تقویتی جاذبیش فنی	سازوکار	طول گسل	متخصصات	نام گسل
گسل راندگی	زمین لرزه سال ۱۳۷۵ بوژه در روسنای محور تاقدیس سرچشمه و ناویدیس شیخ و گسل راندگی سرچشمه را برپیده است	۸ تا ۲۰ متر با پیشگیری بزرگی کلیسیت	۵ تا ۲۰۰ متر	راستالغز چپ بر با مؤلفه شیثی معکوس	N58°E, 80°E	گسل قارق	
	آتهای جنوبی آن توسط گسل فرسر و بخشش شناسی سرچشمه را برپیده است	۲۰ متر به شدت خرد و کلستی شده	۱۰۰ متر	راستالغز راست بر	NW-SE	امتداد	
	آتهای جنوبی آن توسط گسل در زمین لرزه سال ۱۳۷۵ بوژنورد	۱۰ متر به شدت خرد و کلستی شده	۱۰۰ متر	راستالغز راست بر	N52W, 81W	گسل قرقان (شیخ)	(شکل ۵)
	ناآدیس لوچی و تاقدیس های کوکی و زاب را برپیده و در پیشش شمالی به شناسان به شاههای فرعی از گسل های راستالغز راست بر ختم می شود. بخش میانی آن، توسط گسل یکه شاخ برپیده شده	۱۰ تا ۱۵ متر به شدت خرد شده	۱۰۰ متر	راستالغز راست بر	۵/۳۲ کیلومتر	گسل فاوہ (شکل ۶)	
	ناآدیس لوچی و تاقدیس های کوکی و زاب را برپیده و در پیشش شمالی به شناسان به شاههای فرعی از گسل های راستالغز راست بر ختم می شود. بخش میانی آن، توسط گسل یکه شاخ برپیده شده	۱۰ تا ۱۵ متر به شدت خرد شده	۱۰۰ متر	راستالغز چپ بر	۵/۱۰ W	بخش جنوبی و امتداد پیشش شمالی	
	ناآدیس لوچی و تاقدیس های کوکی و زاب را برپیده و در پیشش شمالی به شناسان به شاههای فرعی از گسل های راستالغز راست بر ختم می شود. بخش میانی آن، توسط گسل یکه شاخ برپیده شده	۱۰ تا ۱۵ متر به شدت خرد شده	۱۰۰ متر	راستالغز چپ بر	N-S	بخش اول امتداد NE-SW	گسل سنجده
	ناآدیس لوچی و تاقدیس های کوکی و زاب را برپیده و در پیشش شمالی به شناسان به شاههای فرعی از گسل های راستالغز راست بر ختم می شود. بخش میانی آن، توسط گسل یکه شاخ برپیده شده	۱۰ تا ۱۵ متر به شدت خرد شده	۱۰۰ متر	راستالغز چپ بر	۵/۱۰ E	بخش اول به طول ۵ و بخش دو (۵) به طول ۵ کیلومتر است	دارد
	ناآدیس لوچی و تاقدیس های کوکی و زاب را برپیده و در پیشش شمالی به شناسان به شاههای فرعی از گسل های راستالغز راست بر ختم می شود. بخش میانی آن، توسط گسل یکه شاخ برپیده شده	۱۰ تا ۱۵ متر به شدت خرد شده	۱۰۰ متر	راستالغز چپ بر	E-W	امتداد	گسل یکه شاخ
	ناآدیس لوچی و تاقدیس های کوکی و زاب را برپیده و در پیشش شمالی به شناسان به شاههای فرعی از گسل های راستالغز راست بر ختم می شود. بخش میانی آن، توسط گسل یکه شاخ برپیده شده	۱۰ تا ۱۵ متر به شدت خرد شده	۱۰۰ متر	راستالغز راست بر	۳۰ کیلومتر		
	ناآدیس لوچی و تاقدیس های کوکی و زاب را برپیده و در پیشش شمالی به شناسان به شاههای فرعی از گسل های راستالغز راست بر ختم می شود. بخش میانی آن، توسط گسل یکه شاخ برپیده شده	۱۰ تا ۱۵ متر به شدت خرد شده	۱۰۰ متر	راستالغز راست بر	N55°E, 79°E	بخش شمالی و بخش جنوبی	گسل سلطان ابراهیم
	ناآدیس لوچی و تاقدیس های کوکی و زاب را برپیده و در پیشش شمالی به شناسان به شاههای فرعی از گسل های راستالغز راست بر ختم می شود. بخش میانی آن، توسط گسل یکه شاخ برپیده شده	۱۰ تا ۱۵ متر به شدت خرد شده	۱۰۰ متر	راستالغز راست بر	N40°E, 80°E	بخش شمالی امتداد و بخش جنوبی امتداد	گسل جنگاه
	ناآدیس لوچی و تاقدیس های کوکی و زاب را برپیده و در پیشش شمالی به شناسان به شاههای فرعی از گسل های راستالغز راست بر ختم می شود. بخش میانی آن، توسط گسل یکه شاخ برپیده شده	۱۰ تا ۱۵ متر به شدت خرد شده	۱۰۰ متر	راستالغز راست بر	۱۶ کیلومتر	بخش شمالی امتداد و بخش جنوبی امتداد	گسل علی محمد
	ناآدیس لوچی و تاقدیس های کوکی و زاب را برپیده و در پیشش شمالی به شناسان به شاههای فرعی از گسل های راستالغز راست بر ختم می شود. بخش میانی آن، توسط گسل یکه شاخ برپیده شده	۱۰ تا ۱۵ متر به شدت خرد شده	۱۰۰ متر	راستالغز چپ بر	۱۲ کیلومتر	امتداد	گسل پیوه
	ناآدیس لوچی و تاقدیس های کوکی و زاب را برپیده و در پیشش شمالی به شناسان به شاههای فرعی از گسل های راستالغز راست بر ختم می شود. بخش میانی آن، توسط گسل یکه شاخ برپیده شده	۱۰ تا ۱۵ متر به شدت خرد شده	۱۰۰ متر	راستالغز چپ بر	۲۰ کیلومتر	امتداد	گسل حصار

کتابنگاری

- افشار حرب، ع.، ۱۳۷۳- چینه شناسی کپه داغ، سازمان زمین‌شناسی و اکتشافات معدنی کشور.
- افشار حرب، ع.، ۱۳۶۴- نقشه زمین‌شناسی بجنورد، مقیاس ۱/۲۵۰۰۰، سازمان زمین‌شناسی و اکتشافات معدنی کشور.
- قائمه‌ی، ف.، غفوری، م.، حافظی مقدس، ن.، ۱۳۷۸- پروژه ارزیابی پتانسیل لرزه‌خیزی اطراف و محل پتروشیمی بجنورد، شرکت سهامی پتروشیمی خراسان.
- غفوری، م.، قائمه‌ی، ف.، حافظی مقدس، ن.، ۱۳۷۸- گسله کواترنر ببابا امان در منطقه بجنورد، شمال غرب خراسان، فشرده مقالات سومین همایش انجمن زمین‌شناسی ایران.
- قائمه‌ی، ف.، ۱۳۸۳- نقشه زمین‌شناسی کاکلی، مقیاس ۱/۱۰۰۰۰۰، سازمان زمین‌شناسی و اکتشافات معدنی کشور.
- قطانچی، م. ر.، فاتحی، ع.، سدید خوی، ا.، ۱۳۷۷- بررسی زمین‌لرزه‌های ۱۶ بهمن ۱۳۷۵ بجنورد در شمال خاور ایران، نشریه فیزیک زمین و فضا، جلد ۲۴، شماره‌های ۱ و ۲.

References

- Afshar-Harb, A., 1979-The stratigraphy and petroleum geology of Kopeh Dagh region, northern Iran: London, Petroleum Geology Section. Royal School of Mines, Imperial College, pp: 316.
- Ambraseys, N. and Melville, C., 1982- A history of Persian earthquakes: Cambridge, Cambridge University Press, 219 p.
- Griesbach, C. L., 1881- Report on the Geology of the Section between the Bolan Pass in Biluchistan and Girishk in Southern Afghanistan: By C. L. Griesbach. [Kopftitel.] (Published by Order of his Excellency the Governor General of India in Council). (Calcutta): Government of India.
- Hollingsworth, J., Jackson, J., Alarcón, J. E., Bommer, J. J. and Bolourchi, M., 2007- The 4th February 1997 Bojnurd (Garmkhan) Earthquake in NE Iran: Field, Teleseismic, and Strong-Motion Evidence for Rupture Directivity Effects on a Strike-Slip Fault, Journal of Earthquake Engineering, 11:193–214,
- Hollingsworth, J., Jackson, J., Walker, R. & Nazari, H., 2008- Extrusion tectonics and subduction in the eastern South Caspian region since 10 Ma GEOLOGY.,v. 36; no. 10; p. 763–766.
- Hollingsworth, J., Jackson, J., Walker, R., Gheitanchi, M. and Bolourchi, M., 2006- “Strike-slip Faulting, rotation, and along-strike elongation in the Kopeh Dagh mountains, NE Iran,” Geophysical Journal International, 166, 1161–1177.
- Hoeppener, R., Kalthoff, E. & Schrader, P., 1969- Zur physikalischen Tektonik; Bruchbildung bei verschiedenen affinen Deformationen im Experiment: Geologische Rundschau, v. 59,p. 179- 193.
- Tatar, M., Yamini-Fard, F. and Hessami, K., 1997- “Bojnord earthquake of February 4, 1997,” Proceeding of International Conference on Civil Engineering, Sharif University, Tehran, Iran.
- Twiss, R. J. and Moores , E. M. , 1992- Structural geology , Freeman and company – New york.

hollandite, as well as calcite and quartz. Intergrowths of manganese oxides and quartz (or calcite) associated with various open space filling textures support the epithermal origin of the ore forming fluids in this area. Geochemistry of major and trace elements in Robat Karim manganese ores, similarity of their chondrite normalized REE pattern with volcanic host rocks and other hydrothermal manganese deposits of the world, as well as negative Ce anomaly indicate a probable epithermal origin of the deposit. Ore forming fluids could be originated from meteoric and/or magmatic waters circulating through Eocene volcanic rocks, dissolve manganese and other metals and deposit them in fault planes and major fractures. High pressure of the ore forming fluid has caused the formation of brecciated trachyte.

Keywords: Mineralogy, Geochemistry, Rare earth elements, Manganese, Robat Karim.

For Persian Version see pages 67 to 76

*Corresponding author: S. J. Moghaddasi; E-mail: sjmoghad@pnu.ac.ir

Fracture System of Kopet-Dagh Fold Belt, NE Bojnurd

F. Ghaemi^{1*} and F. Ghaemi²

¹ Geology Department, Faculty of Science, Ferdowsi University of Mashhad, Mashhad, Iran

² Geology Department, Faculty of Science, Islamic Azad University of Mashhad, Mashhad, Iran.

Received: 2009 December 16 Accepted: 2010 October 03

Abstract

The Northern Khorasan is one of important active tectonics area. The main faults are strike slip (dextral and sinistral) and minor faults are thrust faults. Many of thrust faults are older than strike-slip faults and some of them are younger and are active now. It is because of bending of strike-slip faults that converts them into thrust faults. We recognized active faults based on their characteristics. In this area we have two series of tensile joints and two series of shear joints. Principal stresses have the following attitudes: ($\delta_1 = N9^{\circ}E, 5^{\circ}$) - ($\delta_2 = S1^{\circ}W, 86^{\circ}$) - ($\delta_3 = N81^{\circ}W, 1^{\circ}$) Strikeslip faults can be sympathetic. For example the 1997 Bojnurd earthquake on the Yekke-shakh fault affects Baba-aman and Gharlegh faults.

Keywords: Strike-Slip Fault, Thrust Fault, Bojnurd, Sympathetic Faults, Active Fault, Joint, Fault Zone.

For Persian Version see pages 77 to 86

*Corresponding author: F. Ghaemi; E-mail: farzinmail@yahoo.com

Structural Mechanisms of the Quaternary Basalts in Bijar Area, West of Iran

G. Maleki^{1*}, A. Saeedi¹, M.H. Emami¹, M. Kheirkhah¹

¹ Research Institute for Earth Sciences, Geological Survey of Iran, Tehran, Iran

Received: 2010 May 29 Accepted: 2010 October 09

Abstract

In Sanandaj- Sirjan zone a vast outcrops of volcanic rocks, which founded as high terraces, are covered the Pre-Quaternary rocks. The volcanic rocks are appeared in different shapes and morphological features. Based on the Zagros geodynamical evolution, mentioned rocks assumed to be Post – Collisional, that are formed in an extentional system with a NW-SE trend. Three studied complexes in this paper are Ahmad abad, Tahmures and Nadri. The structural investigation of three the sites are complementary data to the geochemical analysis. In this regards, structural investigation done in those 3 mentioned sites. Studied faults shows different trends and age. Mechanism of faults are normal, and their age are either Post- basalt or syn-basalt, that is, Contemporaneous with the last deposition of late-Miocene marls. The age of the oldest faults is late- Miocene, before basalt intrusion.

Keywords: Contamination, Assimilation, Gneiss, Alkali Basalt, Volcanic, Quaternary

For Persian Version see pages 87 to 96

*Corresponding author: G. Maleki; E-mail: Maleki.geologyst@yahoo.com